

## فرآیندهای دیاژنزی و چینه‌نگاری سکانسی سازند فهليان در میدان نفتی يادآوران (کوشک و حسینیه) در فروافتادگی دزفول شمالی

حسن محسنی<sup>۱\*</sup>، موسی اسفندیاری<sup>۲</sup>، محمد علی کاووسی<sup>۳</sup>

- ۱- دانشیار گروه زمین شناسی، دانشکده علوم پایه، دانشگاه بوعالی سینا، همدان، ایران  
۲- کارشناس ارشد رسوب شناسی و سنگ شناسی رسوبی، گروه زمین شناسی، دانشکده علوم پایه، دانشگاه بوعالی سینا، همدان، ایران  
۳- مدیریت اکشاف شرکت ملی نفت ایران (رییس دایره چینه شناسی و رسوب شناسی)، تهران، ایران

\*پست الکترونیک: mohseni@basu.ac.ir

تاریخ پذیرش: ۹۴/۲/۱۷

تاریخ دریافت: ۹۲/۱۲/۲۰

### چکیده

سازند فهليان با سن نوکومين - بارمين بخشی از گروه خامی و از مخازن مهم هيدروکربني در جنوب باخته ايران می‌باشد. بر پایه مطالعه پتروگرافی ۶۷۰ نمونه مقاطع نازک فراهم شده از تراشه‌های حفاری چاه‌های کوشک-۱ و حسینیه-۳ در میدان يادآوران و تفسیر نگاره گامای سازند فهليان، بیست و دو ریزرساره کربناته و دو لیتوفاسیس آواری در قالب چهار کمربرند رساره‌ای دریای باز، حاشیه شلف /سد، لاگون و پنهان کشنده، در این سازند شناسایی و تفکیک شده است. سیمانی شدن، انحلال، دولومیتی شدن، نوریختی، میکرایتی شدن، زیست آشفتگی، انحلال فشاری و تراکم رایج ترین فرآیندهای دیاژنزی مؤثر بر سازند فهليان در میدان يادآوران می‌باشند. بررسیهای چینه‌نگاری سکانسی در ناحیه مورد مطالعه نشان می‌دهد نهشته‌های سازند فهليان از سه سکانس رسوبی رده سوم تشکیل شده است که در یک پلاتفرم کربناته از نوع شلف نهشته شده‌اند. بررسی سکانس‌های رسوبی و فرآیندهای دیاژنزی سازند فهليان، بیانگر ارتباط مستقیم میان این فرآیندها و دسته‌های رساره‌ای است. در دسته‌های رساره‌ای مختلف، فرآیندهای دیاژنزی ویژه‌ای چیره بوده که توسط محیط رسوبی و نوسانهای سطح نسبی آب دریا کنترل شده به طوری که در سیستم تراکتهای تراز بالای آب، فرآیندهای دیاژنزی اولیه دریابی و در سیستم تراکتهای تراز پایین آب فرآیندهای دیاژنزی متوریک بر رسوبات تاثیر گذار بوده است.

**واژه‌های کلیدی:** فروافتادگی دزفول؛ سازند فهليان؛ میدان نفتی يادآوران؛ دیاژنز؛ چینه‌نگاری سکانسی.

### مقدمه

(Bonab, 2014). به علاوه دیاژنز عامل اصلی کنترل کننده کیفیت مخزنی بسیاری از مخازن کربناته است (Ehrenberg, 2008). همچنین انطباق رساره‌ها و فرآیندهای دیاژنزی در چارچوب چینه‌نگاری سکانسی می‌تواند به ایجاد مدل‌های زمین‌شناسی برای شبیه‌سازی مخزن کمک کند (Masse & Masse, 2011).

بررسی وابستگی میان رساره‌ها و دیاژنز در چارچوب چینه‌نگاری سکانسی پیش‌نیاز ضروری برای شناسایی سیستماتیک هر مخزن است (Lucia, 2007; Ahr, 2008). در بسیاری موارد به خاطر حساسیت سنگهای کربناته به فرآیندهای دیاژنزی، پراکندگی تخلخل - تراوایی به میزان زیادی می‌تواند تغییر کند (Mehrabi & Rahimpour-

سکانسی در میدان يادآوران واقع در فروافتادگی دزفول شمالی می‌باشد.

### زمین‌شناسی منطقه مورد مطالعه

در این پژوهش سازند فهليان در میدان نفتی يادآوران واقع در فروافتادگی دزفول شمالی مورد بررسی قرار گرفته است. فروافتادگی دزفول پنهان ساختمانی واقع در جنوب باختری تراست زاگرس است که دربردارنده بیشتر میدانهای نفتی ایران است و سازند آسماری در آن رخمنون ندارد (مطیعی، ۱۳۷۴). میدان يادآوران در ۷۰ کیلومتری جنوب غربی اهواز و شمال خرمشهر در منطقه کوشک - حسینیه جای دارد. این میدان از دو میدان (تاقدیس) کوشک و حسینیه تشکیل شده است (شکل ۱). این ساختمان یک تاقدیس متقارن با راستای شمالی - جنوبی به طول ۲۰ و عرض ۸ کیلومتر است. در این منطقه گسل مهمی دیده نمی‌شود و این ساختمان بخشی از سرزمینهای پست مزوپتامیین - خلیج فارس است که از نظر ساختمانی متعلق به شلف پایدار صفحه عربی است (Berberian, 1995) و موازی با چینهای عربستان و میدان بورغان کویت است. ظاهراً روند شمالی - جنوبی سیستم گسلی پی‌سنگ طی پر کامبرین شکل گرفته و دوباره در کرتاسه فعال شده است (Al-Husseini, 2000). بر پایه ارزیابیهای پتروفیزیکی و همچنین آزمایش ساق مته و بهره‌دهی از سازندهای گورپی (تاربور)، ایلام، سروک، داریان، گدوان، فهليان، نجمه و سرگلو در این میدان، تنها سازندهای سروک، گدوان و فهليان پتانسیل مخزنی دارند و سایر سازندها توان هیدروکربنی ندارند و یا آب خیز هستند.

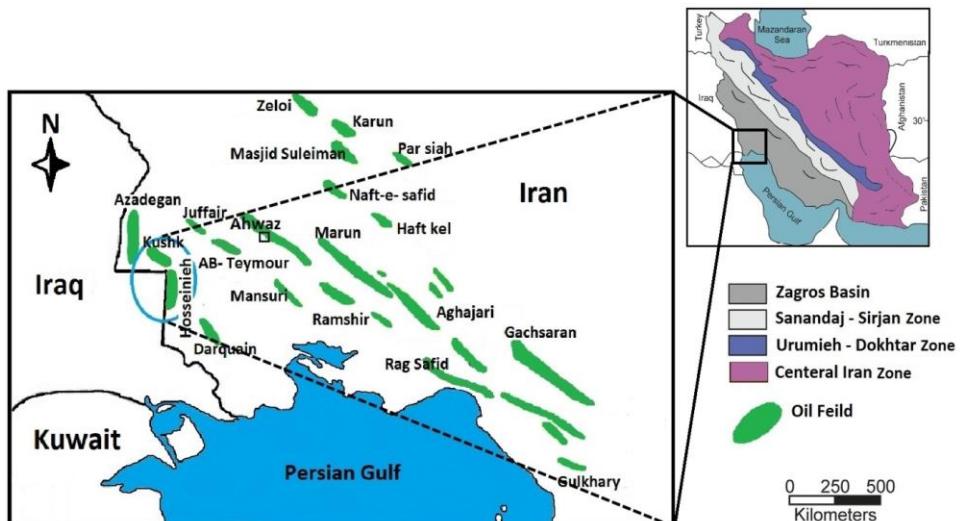
### چینه‌شناسی سازند فهليان

سازند فهليان به سن نتو کومین بخشی از گروه خامی است. گروه خامی دربردارنده سازندهای سورمه، هیث، فهليان،

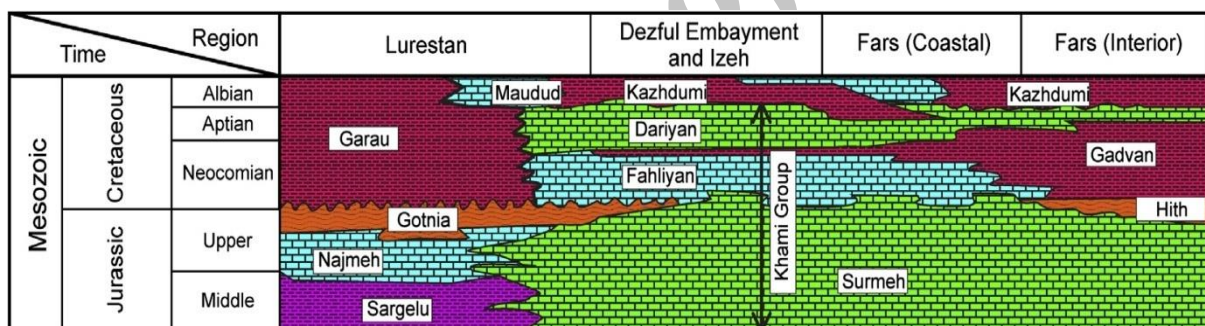
سکانسی ابزاری نیرومند برای پیش‌بینی پراکندگی مکانی و زمانی پوشش‌سنگ، مخزن و سنگ مادر است که توسط واکنش رودرروی میان تأمین رسوب، ریخت‌شناسی بستر حوضه و نرخ تغییرات سطح نسبی آب دریا کنترل می‌شود (Posamentier & Allen, 1993). با توجه به وابستگی میان چینه‌نگاری و کیفیت مخزنی با نتایج حاصل از این بررسیها می‌توان میان سکانس یا تغییرات نسبی سطح آب دریا با گسترش رخساره‌های دارای توان مخزنی و یا رخساره‌های غیرمخزنی ارتباط برقرار کرد و همچنین می‌توان به فرآیندهای دیاژنسی وابسته به تغییرات نسبی سطح آب دریا پرداخت که این مسئله به پیش‌بینی ویژگیهای مخزنی و Catuneanu *et al.*, (2011). همچنین عوامل کنترل کننده چینه‌نگاری سکانسی، به‌طور کارآمدی بر عوامل مؤثر بر دیاژنس مانند شیمی آب روزنها، زمان اقامت و ترکیب آواریها تأثیرگذارند (Morad *et al.*, 2000; Zuffa *et al.*, 1995). برای مثال تغییر در شیمی آب روزنها در حاشیه قاره در پی پس‌روی El-Ghali *et al.*, (2013). نرخ تهشینی بر زمان اقامت رسوبات تحت شرایط شیمیایی ویژه‌ای مانند بستر دریا یا زمان رخمنون تأثیرگذار است (Taylor *et al.*, 1995). از این‌رو ترکیب دیاژنس و چینه‌نگاری سکانسی زمینه‌ای برای درک بهتر تغییرات دیاژنسی فراهم می‌کند (Morad *et al.*, 2000). پژوهش‌های زیادی در دهه‌های اخیر درباره سازند فهليان در زمینه‌های زیست چینه نگاری، رسوب‌شناسی، چینه‌نگاری سکانسی، ژئوشیمی نفت و تکتونیک (برای مثال: James & Wynd, 1975; Kheradpir, 1965؛ Golestaneh, 1965؛ Jamalian *et al.*, 2010؛ Adabi *et al.*, 2010؛ Kamali *et al.*, 2013؛ ۱۳۸۵) نوشته شده است. هدف این پژوهش آشکار کردن و بحث پیرامون پراکندگی تغییرات دیاژنسی سازند فهليان در چارچوب چینه‌نگاری

دزفول و لرستان نیز دیده می‌شود. در نواحی مرکزی فروافتادگی دزفول و لرستان به صورت تدریجی و بین‌انگشتی به شیلها و سنگ آهکهای رسی سازند گرو تبدیل می‌شود (شکل ۲).

گدوان و داریان می‌باشد (James & Wynd, 1965) سازند فهیلان به شکل واحد سنگ آهکی میان دو سازند هیث و گدوان قرار دارد. این سازند دارای بیشترین گسترش در ناحیه فارس است، اما در شمال خاوری فروافتادگی



شکل ۱: نقشه میدان مورد مطالعه در فروافتادگی دزفول.



شکل ۲: نمودار چینه شناسی سازندهای ژوراسیک - کرتاسه زیرین (گروه خامی) در حوضه زیرین (برگرفته از James & Wynd, 1965)

شده و دارای سنگ آهکهای کرم و خاکستری روشن تا تیره و مارن خاکستری تیره پیریتی می‌باشد. سازند فهیلان به صورت همساز روی سازند گرو قرار گرفته و سن آن نوکومین می‌باشد.

### روش مطالعه

پژوهش حاضر بر پایه مطالعه میکروسکوپی ۶۷۰ مقطع نازک تهیه شده از تراشه‌های حفاری چاه‌ای کوشک-۱ و حسینیه-۳ و تفسیر نگاره گامای سازند فهیلان انجام شد.

سازند فهیلان بالایی از سنگ آهکهای سفید، کرم و خاکستری گاهی با رس زیاد و پیریتی و لایه‌هایی از مارن خاکستری تا خاکستری تیره و پیریتی دارای سیلت و ماسه تشکیل شده است. سازند فهیلان پایینی از سنگ آهکهای کرم، نخودی و قهوه‌ای رنگ پیریت‌دار گاهی دارای تخلخل و شکستگی تشکیل شده است که بقایای نفت و بیتومین در تخلخل و شکستگی‌های آن دیده می‌شود. در بخش پایانی، سازند فهیلان با سازند گرو به صورت تدریجی جایگزین می‌شود که بخش فهیلان/گرو نام‌گذاری

نور سبب تنوع خیلی کم گونه‌های جانداران در این محیط است. در دسته‌بندی شلفهای کربناته توسط Wilson (1975)، پهنه‌های کشندي بخشی از شلف درونی در نظر گرفته شده‌اند. این گروه ریزرساره‌ای در بخش‌های بالایی و میانی سازند فهليان دیده شدن.

ریزرساره‌های زیرمحیط تالاب پشت سد، و کستون تا پکستون با یوکلست پلوییددار، و کستون تا پکستون با روزن‌داران و پلویید، و کستون با یوکلست میلولیدی، باندستون مرجانی، و کستون تا پکستون پلوییدی، و کستون تا پکستون آنکوییدی، و کستون سرپولیدی و مادستون با یوکلستی می‌باشند. در محیط تالاب، انرژی آب کم تا متوسط است و با یوکلستها به وسیله جريان جابه‌جا می‌شوند. از سنگواره‌های شناسایی شده در این زیرمحیط می‌توان گونه‌های مختلف جلبکهای آهکی مانند *Dasycladacean* و *Actinoporella*, *Halimeda*, *Salpingoporella*, *Miliolid*, *Textularia*, *Acicularia*, روزن‌دارانی مانند *Lenticulina* و *Trocholina* بیشتر در قسمت‌های میانی سازند فهليان گسترش یافته و هم‌ارز ریزرساره‌های معرفی شده محیط رسوبی شلف میانی Flugel (2010) است.

گروه رخساره‌ای زیرمحیط سد دربردارنده گرینستون اینتراکلستی پلوییددار، پکستون تا گرینستون اینتراکلستی اووئیدار، لیتوکودیوم باندستون و پکستون با یوکلستی می‌باشد. این گروه رخساره‌ای از ستبرای چندانی برخوردار نیست. این ریزرساره‌ها نشان دهنده انرژی متوسط تا بالاست. سیمای زیستی (پیدایش هم زمان روزن‌داران *Textularia* و *Lenticulina*, *Miliolid*) و *Actinoporella* و *Halimeda* تالاب‌زی ساختارهای رسوبی (خردشده‌گی زیاد و بافت‌های پکستون/ گرینستونی) یک محیط فعال هیدرودینامیکی با جابه‌جایی دائم به وسیله جريانها را پیشنهاد می‌کند. این گروه رخساره‌ای هم ارز ریزرساره‌های معرفی شده بخش سدی

مطالعه سنگ‌شناسی به منظور شناسایی ریزرساره‌ها و فرآیندهای گوناگون دیاژنسی صورت گرفت. نام‌گذاری ریزرساره‌های کربناته بر پایه طبقه‌بندی Dunhum (1962) و لیتوفاسیسهای غیرکربناته بر پایه طبقه‌بندی Folk (1974) انجام شد و شرح و توصیف ریزرساره‌ها به روش ریزرساره‌های Flugel (2010) و Wilson (1975) صورت گرفت. چینه‌نگاری سکانسی سازند یاد شده بر پایه نتایج به دست آمده از بررسی توالي ریزرساره‌ها و داده‌های ژئوفیزیکی به‌ویژه نگاره گاما بررسی و سیستم تراکتهای اصلی آن شناسایی گردید. سپس نقش چینه‌نگاری سکانسی در پراکندگی رخساره‌ها و وابستگی فرآیندهای دیاژنسی به تغییرات سطح نسبی آب دریا مورد بررسی قرار گرفت.

### ریزرساره‌ها و محیط رسوبی

ریزرساره‌های سازند فهليان در میدان مورد پژوهش در چهار زیرمحیط (پهنه کشندي، تالاب پشت سد، سد و دریای باز/پلاتfrm باز) تهشین شده‌اند (اسفندیاری، ۱۳۹۲) که در ادامه به آن پرداخته می‌شود. این ریزرساره‌ها در شکل ۷ و ۸ به ترتیب از دریای باز به سوی خشکی با حروف A تا D نام‌گذاری گردیده‌اند.

گروه رخساره‌ای پهنه کشندي دربردارنده لیتوفاسیسهای کوارتز آرنایت و شیل و ریزرساره گرینستون اینتراکلستی و پلوییدی، مادستون کوارتزدار، دولومادستون و مادستون می‌باشد. نبود با یوکلست، میکرایتی بودن زمینه و وجود دولومیتهای ریزبلور به همراه دانه‌های کوارتز منشأ گرفته از خشکی بیانگر چیرگی زیرمحیط پهنه کشندي است. پلوییدهای میکرایتی و اینتراکلستهای تاحدوودی گرد شده نشانگر آن است که جابه‌جایی پیوسته به وسیله جريانها صورت گرفته است. محدودیتهای محیطی، به ویژه نوسانات شوری آب، خروج متناوب محیط از آب و شدت

خود اختصاص می‌دهند)، وجود سد با یوکلستی (گسترش و ستبرای آن در ناحیه مورد بررسی چشمگیر نیست)، حضور کورتوبیدها، آنکوبیدها و دانه‌های آگرگات که ویژه شلف کربناته می‌باشند و به ندرت در رمپهای کربناته یافت می‌شوند (Flugel, 2010) و نیز حضور رخساره‌های حاشیه شلف که بیانگر شیب بالای محیط رسوبی در هنگام رسوب گذاری می‌باشند، مدل رسوب گذاری سازند فهیلان یک پلاتفرم کربناته از نوع شلف، شامل زیرمحیط پلاتفرم (شلف درونی، میانی و بیرونی، ناحیه شیب) و حوضه تعیین گردیده است.

### سیمای دیاژنزی سازند فهیلان

فرآیندهای دیاژنزی سازند فهیلان در سه محیط دیاژنزی دریایی، متوریک و دفیی رخ داده است.

#### دیاژنز محیط دریایی

نوریختی (نئومورفیسم): پس از خروج یون منیزیم از محیط در طی بلورش دوباره میکرایت پدید می‌آید. خروج یون منیزیم می‌تواند به خاطر قرار گرفتن در محیط لب سور یا ورود آبهای شیرین طی دیاژنز وادوز به داخل لایه‌های کربناته و یا جذب یون منیزیم توسط کانیهای رسی باشد (Basyoni & Khalil, 2013). نئومورفیسم اغلب در سنگ آهکها به صورت افزایشی است که به تشکیل بلورهایی با اندازه بزرگتر منجر می‌گردد (Tucker & Wright, 1990). این فرآیند در اکثر رخساره‌های دارای گل آهکی (رخساره‌های تالاب) گسترش دارد (شکل ۳ الف).

میکرایتی شدن: میکرایتی شدن یکی از معمول‌ترین فرآیندهای دیاژنز دریایی در کربناتهای می‌باشد که در پی حفاری موجودات میکروسکپی و تخریب زیستی دانه‌ها ایجاد می‌شود. میکرایتی شدن در ریزرخساره‌های دانه پشتیبان سازند فهیلان به ویژه وکستون تا پکستون

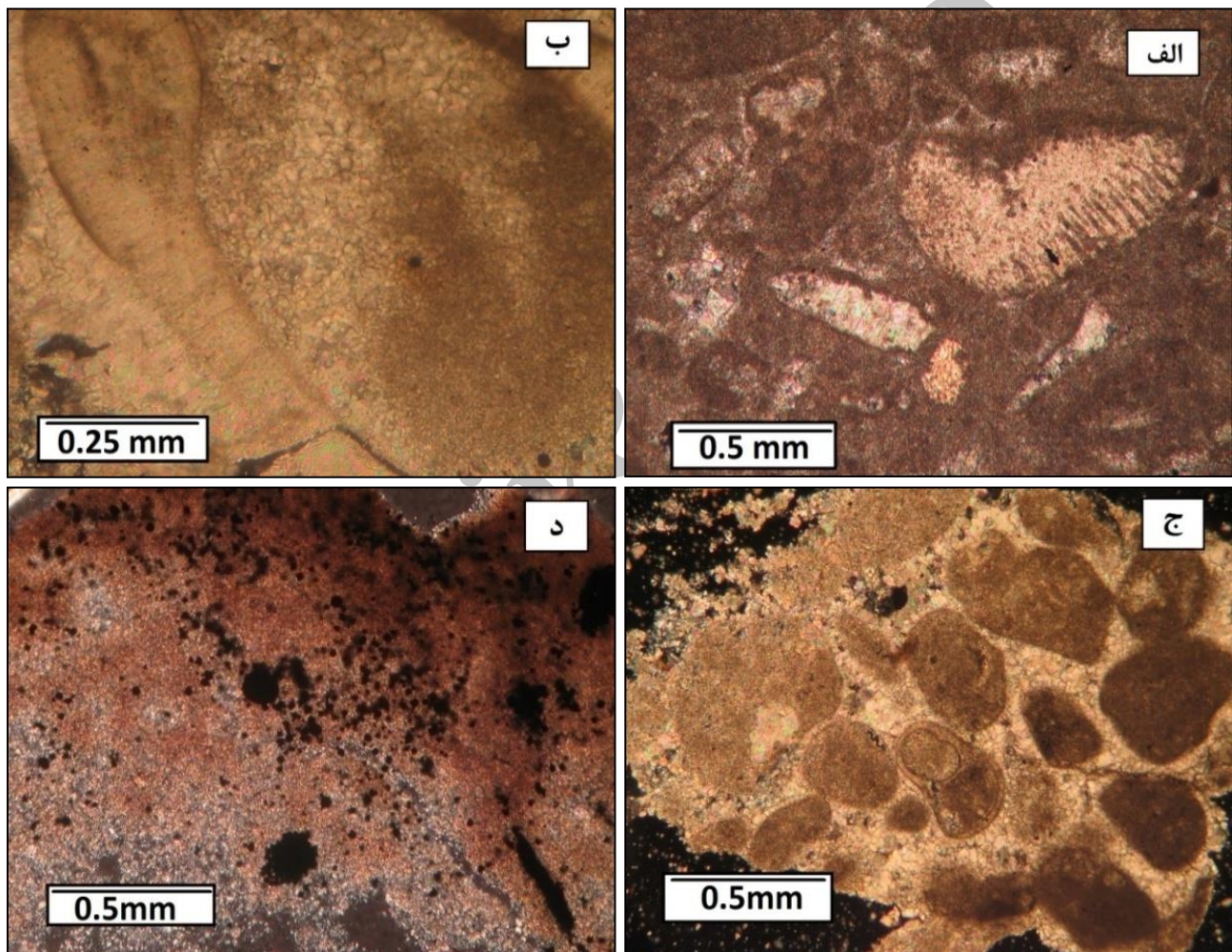
در نوشته Flugel (2010) می‌باشد و در دسته‌بندی شلفهای کربناته توسط Wilson (1975) هم ارز کمربند رخساره‌ای شماره ۵ و ۶ بوده و به بخش سد نسبت داده می‌شود.

گروه رخساره‌ای زیرمحیط دریایی باز شامل ریزرخساره‌های برشی شده و کربناتهای دوباره نهشته شده با ماهیتی شکسته و خرد شده است. این ریزرخساره از اینترکلست، بایوکلست و دانه‌های کوارتز در خمیرهای از میکرایت تشکیل شده است. خرد های کربناته گرد شده تا نیمه زاویه‌دار و دانه‌های کوارتز زاویه‌داراند. خرد های بایوکلستی در بردارنده خرد های خارجی است، روزن داران، دوکفه‌ای و جلبکهای آهکی است. این ریزرخساره از خرد های و دانه های گوناگون تشکیل شده است. این ریزرخساره ها می‌توانند در پی تالوسهای جلوی منطقه شیب و یا در پای شیب رخداد داشته باشند و هم ارز رخساره های کمربند رخساره ای شماره ۴ در نوشته (Wilson 1975) هستند. این گروه رخساره ای در بخش زیرین سازند فهیلان دیده شدن. ریزرخساره های مادستون با فونای پلانکتونیک (رادیولر، سوزن اسفنج و..) و مادستون آهکی آرژیلیتی مربوط به مجموعه ریزرخساره های ژرف (حوضه) می‌باشند. این گروه رخساره ای هم ارز ریزرخساره های معرفی شده آبهای ژرف (شلف باز) در نوشته Flugel (2010) می‌باشد و در طبقه‌بندی Wilson (1975) هم ارز کمربندهای رخساره ای ۱ و ۲ هستند. بررسی گروه های رخساره ای سازند فهیلان در میدان نفتی یادآوران (ساختمان های کوشک و حسینیه) و مقایسه این گروه ها با کمربندهای رخساره ای Wilson (1975) و Flugel (1975) آشکار کرد که سازند فهیلان در میدان یادآوران (2010) در محیط شلف کربناته نهشته شده است. با توجه به تبدیل رخساره ها به یکدیگر، عدم گسترش سد ریفی - مرجانی (مرجانها از اجزای اصلی تشکیل دهنده رسوبات در شلف نیستند و عموماً کمتر از ۵ درصد رسوبات را در شلف به

دریایی می‌باشد و گاهی در محیط دیاژنزی وادوز دریایی نیز تشکیل می‌شوند (Flugel, 2010). از شواهد زودرس بودن این سیمان، تشکیل آن در مرز بین دانه‌ها می‌باشد. این سیمان در رخساره‌های دانه پشتیبان گرینستونی پشت‌های زیرآبی به ویژه بخش‌های رو به دریا و مرکزی آنها و همچنین گرینستونهای با یوکلاستی کانالهای کشنده از گسترش زیادی برخوردار است.

بیوکلاستی - پلوییدی به دلیل چیرگی شرایط آرام در محیط تالاب گسترش بیشتری یافته است (شکل ۳ب).

**سیمان حاشیه‌ای هم‌ضخامت:** به صورت پوششی از بلورهای هم اندازه و کشیده در اطراف دانه‌های کربناته تشکیل می‌شود (شکل ۳ج). پهنه‌ای آنها بیشتر از ۱۰ میکرون و درازای ۲۰ تا ۱۰۰ میکرون دارند و معمولاً به صورت هم‌ستبرای در حاشیه دانه‌ها رشد می‌کنند. جنس آن از کلسیت پر منیزیم بوده و از رایج‌ترین سیمان‌ای فریاتیک

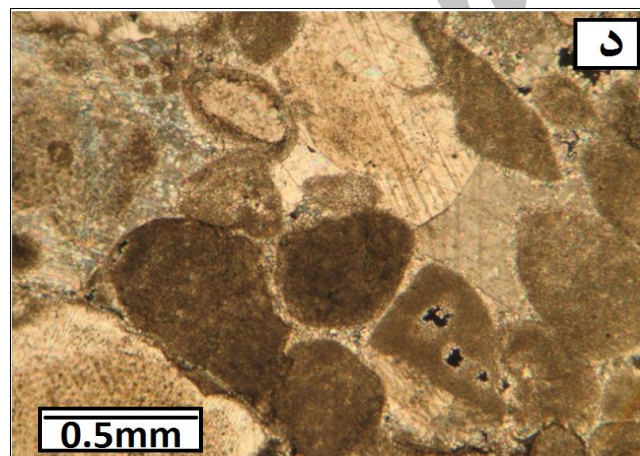
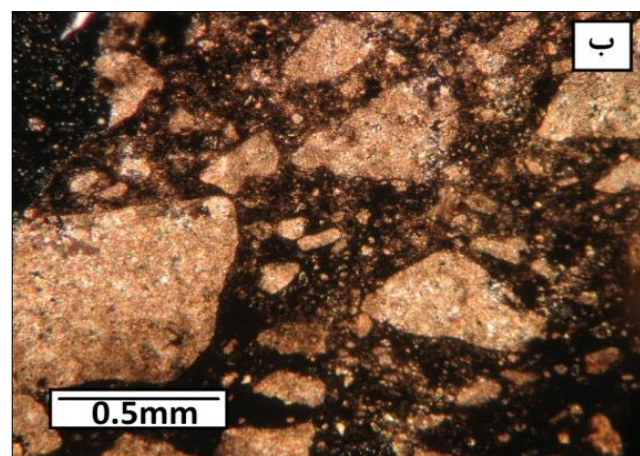


شکل ۳: تصویر میکروسکوپی فرآیندهای دیاژنز دریایی سازند فهلیان: (الف) میکراتی شدن آلوکمهای پلویید با یوکلاست پکستون (ذرفای ۲۰۶۵ متری کوشک-۱); (ب) تئومورفیسم افزایشی در گرینستون (ذرفای ۴۱۰۸ متری حسینیه-۳); (ج) سیمان کلسیتی حاشیه‌ای هم‌ضخامت (ذرفای ۴۱۰۸ متری حسینیه-۳); (د) پیریت دانه تمشکی در مادستون (ذرفای ۴۱۴۵ متری کوشک-۱)

پیریت یوهدرال دیده می‌شود. پیریت فرامبوییدال یا دانه‌تمشکی شامل اگرگاتهای کروی در اندازه میکرونی می‌باشد و طی دیاژنز اولیه تشکیل می‌شود. این نوع پیریت

**پیریتی شدن:** پیریت اتوژنیک معمولاً از احیای ماده آلی در محیط‌های دریایی عادی کم اکسیژن و آبهای شیرین تشکیل می‌شود (Flugel, 2010).

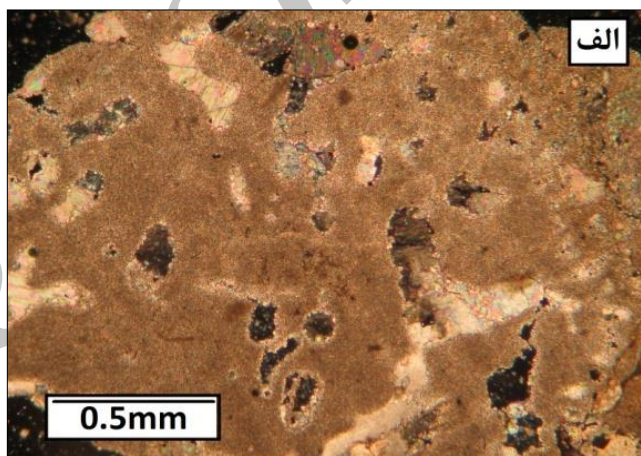
می شود (Tucker & Wright, 1990). انحلال در محیط متوریک یا منطقه اختلاط آب ایجاد می شود، ولی در مرحله تدفین عمیق نیز انحلال سبب ایجاد تخلخل می گردد که به انحلال مژوژنیک موسوم است (Ahr, 2008). انحلال در توالی مورد مطالعه از مهم ترین فرآیندهای دیاژنزی متوریک است که سبب پدید آمدن تخلخل درون دانه‌ای، تخلخل قالبی در خرددهای اسکلتی (شکمپایان، روزن‌داران و دوکفه‌ایها)، تخلخل حفره‌ای به ویژه در رخساره‌های گل پشتیان و برش انحلالی شده است (شکل ۴ الف - ب).



از آبهای روزنه‌ای که نسبت به مونوسولفید آهن و پیریت فوق اشباع هستند ته نشین می شود. در عوض پیریت یوهدرال از آبهای روزنه‌ای فوق اشباع نسبت به پیریت، اما زیراشباع نسبت به مونوسولفید آهن ته نشین می شوند (Raiswell, 1982). پیریتها دانه تمشکی و یوهدرال در توالی مورد مطالعه به صورت پراکنده دیده می شوند (شکل ۳ د).

#### دیاژنز متوریک

**انحلال:** یکی از فرآیندهای دیاژنزی محیط متوریک نزدیک سطح است، ولی در محیط دریایی نیز مشاهده



شکل ۴: تصاویر میکروسکوپی فرآیندهای دیاژنز متوریکی سازند فهیان: (الف) انحلال میکرایت (ژرفای ۴۰۷۰ متری، حسینیه-۳)؛ (ب) برشی شدن (ژرفای ۴۱۲۴ متری، حسینیه-۳)؛ (ج) سیمان کلسیتی بلوکی (ژرفای ۴۱۰۰ متری، حسینیه-۳)؛ (د) سیمان رورشده هم محور (ژرفای ۴۱۰۸ متری، حسینیه-۳)

اندازه بلورها از ده‌ها میکرون تا چندین میلی‌متر متغیر است. بیشتر بلورها، زنو توپیک تا هیپ ایدیو توپیک می باشند.

سیمان کلسیتی بلوکی یا هم بعاد شامل بلورهای متوسط تا درشت دانه بدون جهت یابی ترجیحی می باشد. گستره

صورت استیلویلت گسترش یافته است (شکل ۵ ب). در برخی موارد آثار هیدرولوگیکی، مواد آلی و رسی انحلال ناپذیر و یا دولومیتهاي دفعی در امتداد استیلویلتها دیده می‌شود. رگچه‌های انحلالی، در امتداد لایه‌های رسی نازک یا در محل تقاطع سنگ آهکهای غنی از رس با سنگ آهکهای فقیر از رس، گسترش دارند (شکل ۵ ج). برای تشکیل رگچه‌های انحلالی نسبت به استیلویلتها تدفین کمتری لازم است (Tucker & Wright, 1990). فابریک درهم (شکل ۵-د) شبکه‌ای از دانه‌های درهم فرو رفته توسط انحلال فشاری است به طوری که سطح تماس بین دانه‌ها، عموماً منحنی یا صفحه‌ای تا مضرسی می‌باشد (Bathurst, 1986).

**سیمان کلسیتی دروزی:** فضای بین حفرات و دانه‌ها و شکستگیها را پر می‌کند و اندازه بلور به سمت مرکز حفره بزرگتر می‌شود. مرز بین بلورها مسطح بوده و دارای مرز سازشی هستند که حاصل رشد با سرعت یکسان دو بلور در کنار هم است. سیمای جدا کننده آن از سیمان دروزی مشوریک، وجود ادخال بیشتر و حفره و حباب سیال می‌باشد. این سیمان در سازند مورد مطالعه در رخساره‌های گرینستونی گسترش زیادی داشته و تخلخل حاصل از انحلال را از بین برده است (شکل ۵ ه).

**سیمان فراگیرنده:** از یک یا چند بلور بزرگ تشکیل شده و یک یا چندین دانه را در بر می‌گیرد (شکل ۵ و). این سیمان در محیط دفعی تشکیل می‌شود و علت تشکیل آن تعداد اندک هسته بلور سیمان و آهنگ آرام رشد بلور می‌باشد که ناشی از سیرشدگی سیالات روزنگاری نسبت به  $\text{CaCO}_3$  است (Tucker, 1991). در سازند مورد مطالعه، این سیمان بیشتر در رخساره‌های پهنه کشنده، تالابی و سدی دیده شد که باعث کاهش تراویسی در سازند فهليان گردیده است.

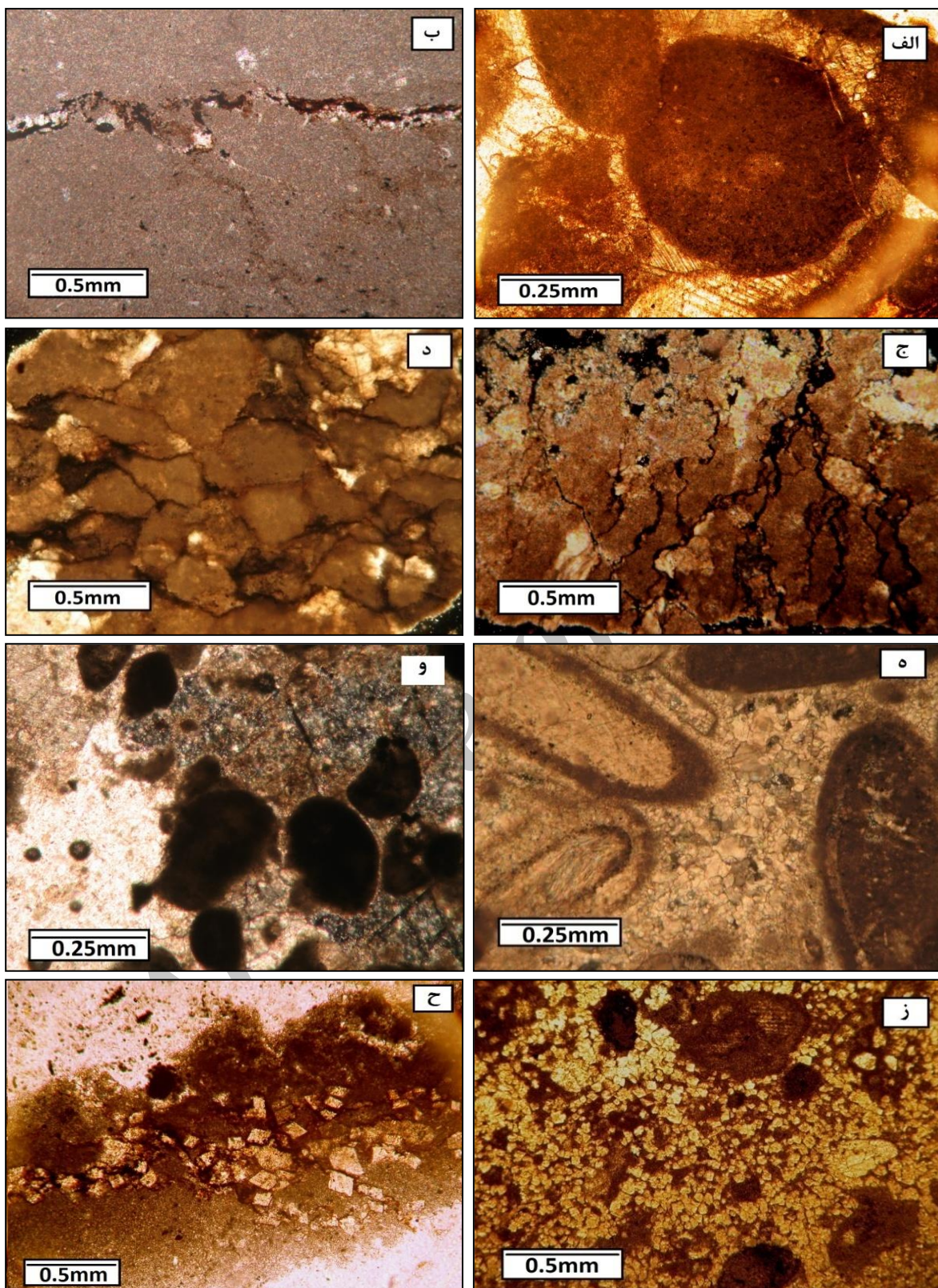
این گونه سیمان در محیط‌های مشوریکی و دفعی متداول است (شکل ۴ ج). این سیمان فضای منفذی باقی‌مانده پس از انحلال سیمانهای آرگونیتی یا دانه‌ها را پر کرده است. سیمان بلوکی در سازند مورد مطالعه، بیشتر در ریزرخساره‌های قسمتهای نسبتاً پر انرژی تالاب نزدیک به سد و به ویژه در ریزرخساره‌های محیط سدی دیده شدند و شکستگیها و حفره‌های موجود را پر کرده‌اند.

**سیمان کلسیتی رورشی دروزی هم محور (سین تکسیال):** این سیمان تک بلوری بوده و دارای پیوستگی نوری با دانه میزان است (Tucker, 1991). جنس این سیمان و دانه‌ای که در بر می‌گیرد معمولاً کلسیت پرمیزیم است (شکل ۴ د). سیمان حاشیه‌ای نشان دهنده سیمانی شدن غیردریایی می‌باشد و در محیط فریاتیک آب شیرین و زیرمحیط اشعاع فعال تشکیل می‌شود (Flugel, 2010). در سازند مورد مطالعه، سیمان حاشیه‌ای به صورت شفاف بوده و از منشاء مشوریکی در ریزرخساره‌های تالابی نزدیک به سد تشکیل شده و گسترش چندانی ندارد.

### دیاژنز دفعی

**فرآیند تراکم فیزیکی یا مکانیکی تراکم مکانیکی** در رسوبات گل پشتیان موجب از دست دادن آب و کاهش تخلخل زمینه و در رسوبات دانه پشتیان، باعث آرایش متراکم تر دانه‌ها، جهت یابی ترجیحی در بایوکلستها و سرانجام تغییر شکل پلاستیک و شکستگی در دانه‌ها و سیمانهای حاشیه‌ای زودرس می‌گردد (Tucker & Wright, 1990). تراکم مکانیکی بیشتر در بخش میانی سازند فهليان دیده می‌شود که باعث تغییر شکل آلوکمه‌ها و کاهش تخلخل در مخزن گردیده است (شکل ۵ الف).

**تراکم شیمیایی یا انحلال فشاری:** فرآیند انحلال فشاری در توالي مورد بررسی در رخساره‌های گل پشتیان به ویژه مادستونی و در رخساره‌های پکستونی و گرینستونی به



شکل ۵: تصویر میکروسکپی با نور پلاریزان از فرآیندهای دیاژنزی سازند فهیلان در میدان یادآوران؛ (الف) تراکم فیزیکی در رخساره گریستون پلویدی (ژرفای ۴۰.۲ متری، کوشک-۱)؛ (ب) استیلولیت در رخساره مادستون (ژرفای ۴۲۲۲ متری، کوشک-۱)؛ (ج) رگله‌های انحلالی در رخساره وکستون بایوکلستی (ژرفای ۴۲۵۲ متری، حسینیه-۳)؛ (د) بافت درهم در رخساره پکستون پلویدی (ژرفای ۴۱۳۰ متری، کوشک-۱)؛ (ه) سیمان کلسیت دروزی در پلویدی بایوکلست گریستون (ژرفای ۴۰۰.۶ متری، حسینیه-۳)؛ (و) سیمان فراغیرنده در پلویدی گریستون (ژرفای ۴۰.۸۸ متری، کوشک-۱)؛ (ز-ح) دولومیتی شدن به ترتیب در بایوکلست پلویدی وکستون و مادستون (ژرفای ۴۲۰.۲ و ۴۱۹.۴ متری، کوشک-۱).

میکرایتی شدن در رخساره‌های دانه پشتیبان فراوان‌تر بوده و دولومیتی شدن اولیه، آشفتگی زیستی و نیومورفیسم در رخساره‌های گل پشتیبان بیشتر گسترش دارند. دیاژنز دریایی با حضور سیمان حاشیه‌ای، میکرایتی شدن و دولومیتی شدن اولیه مشخص می‌گردد. نخستین تغییرات دیاژنسی در بستر دریا به صورت میکرایتی شدن دانه‌ها و سیمان حاشیه‌ای به عنوان سیمان زودرس دریایی بوده‌اند. مهمترین فرآیندهای دیاژنس متاوریکی در توالی مورد مطالعه شامل انحلال، تنهشست سیمان بلوکی و دروزی، تبلور دوباره و نیومورفیسم است. آبهای متاوریکی فرورو در ابتدا دانه‌های آرگونیتی را حل کرده و باعث ایجاد تخلخلهای قالبی گسترده در رخساره‌های دانه پشتیبان شده است. سپس آب اشباع شده از کربنات، با حرکت به سمت پایین باعث ته نشست سیمان کلستی در فضاهای خالی رسوبات زیرین شده است. گسترش سیمانهای محیط دیاژنسی دفنی مانند سیمان فرآگیر، سیمانهای دروزی و هم بعد و شواهدی مانند پر شدن شکستگیها، وجود استلولیت، رگچه‌های انحلالی و یافت درهم (شکل ۶) می‌تواند نشان دهنده محیط دیاژنس دفنی باشد. دیاژنس دفنی در سازند فهليان بیشتر به صورت تراکم شیمیایی و فرآیند انحلال فشاری سبب گسترش زیاد استیلویلت و رگچه‌های انحلالی شده است.

## دولومیتی شدن

در توالی پهنه‌های کشنده‌ای در سازند فهليان دولومیتی شدن نیز رخ داده است. این فرآیند بیشتر هم‌زمان با رسوب گذاری تا دفن کم ژرف‌ها و پیش از دفن ژرف انجام شده است. شواهد سنگ‌شناسی این شرایط، بلورهای ریز دولومیت پراکنده در زمینه سنگ، حفظ سیماتی رسوب گذاری و دیاژنس اولیه (زیست آشفتگی)، میکرایتی شدن و سیمانهای اولیه دریایی است. این نوع دولومیتی شدن در سازند فهليان وابسته به فابریک بوده و زمینه میکرایتی سنگ را تحت تاثیر قرار داده است (شکل ۵). نوع دیگر دولومیتی شدن در این سازند طی دیاژنس دفنی رخ داده است که در پی آن دولومیتهای درشت بلور ایدیومورف در امتداد رگچه‌های انحلالی و استیلویلتها تشکیل شده‌اند (شکل ۵ ح).

**توالی پاراژنتیکی فرآیندهای دیاژنسی سازند فهليان**  
نتایج حاصل از مطالعه سنگ‌شناسی، تأثیر هر سه محیط دیاژنسی دریایی، متاوریکی و تدفینی بر روی سازند فهليان در میدان مورد مطالعه را به خوبی نشان می‌دهد. پراکنده‌گی فرآیندهای دیاژنسی در کمربندهای رخساره‌ای در سازند فهليان تا حد زیادی از فابریک سنگ پیروی کرده است به گونه‌ای که فرآیندهایی مانند انحلال، سیمانی شدن و

محیط دیاژنسی فرآیند دیاژنسی	دیاژنس دریایی	دیاژنس متاوریک	دیاژنس دفنی
میکرایتی شدن			
سیمان هم بعد			
زیست آشفتگی			
پیریتی شدن			
نیومورفیسم			
سیمان سین تکسیمال			
انحلال			
دولومیتی شدن			
فسردگی			
استیلویلت			
سیمان فرآگیرنده			
رگچه‌های انحلالی			

شکل ۶: توالی پاراژنتیکی فرآیندهای دیاژنسی سازند فهليان

تهنیشن شده‌اند. روند آرام افزایش پرتو نگاره گاما نیز نشانه گسترش سطح آب است که در شکل ۷ پیداست. بیشینه گسترش آب دریا (MFS1) در ژرفای ۴۳۸۰ متری واقع شده است که در برشهای نازک با ریز رخساره مادستون آرژیلیتی دریای باز شناسایی می‌شود. میزان پرتو نگاره گاما نیز در این ژرفای به اوج رسیده و پایان MFS را نشان می‌دهد. این MFS هم ارز با Sharland *et al.*, (2001) باشد و در فهیلان زیرین قرار دارد (Shakib, 2001). سیستم تراکت تراز بالای آب این سکانس در چاه کوشک-۱ از ژرفای ۴۳۸۰ متری آغاز می‌شود و با ستبرای ۷۰ متر، تا ژرفای ۴۳۱۰ متری را دربر می‌گیرد. این سیستم تراکت از ریز رخساره‌های مادستون دارای Calpionella و مادستون آرژیلیتی مربوط به زیر محیط پلاتفرم باز و سپس لیتوکو دیوم باندستون و پلویید گرینستونهای زیر محیط سدی و سرانجام مادستونهای بدون سنگواره زیر محیط پهنه کشندی تشکیل شده است. در این سیستم ترکت نگاره پرتو گاما تغییرات چندانی نشان نمی‌دهد و تقریباً روند یکنواختی در آن دیده می‌شود. مرز بالای این سکانس با توجه به تغییر الگوی برآباست رخساره‌ها و روند نگاره پرتو گاما و کاهش کاملاً آشکار آن در این ژرفای (شکل ۷) در چاه کوشک-۱ در روی رسوبات HST یک مرز سکانسی نوع دوم می‌باشد.

#### **سکانس B**

این سکانس در چاه کوشک-۱ با ستبرای ۱۹۲ متر از ژرفای ۴۳۱۰ تا ۴۱۱۸ متری را دربر گرفته است (شکل ۷). سیستم تراکت TST با ستبرای ۱۰۵ متر از ژرفای ۴۳۱۰ تا ۴۲۰۵ متری را دربر می‌گیرد. این سیستم تراکت با ریز رخساره‌های مادستون بدون سنگواره زیر محیط پهنه کشندی و وکستونهای اینتراکلسی و پلوییدی محیط

#### **چینه نگاری سکانسی سازند فهیلان**

بر پایه مطالعات ریز رخساره‌ها، بررسی تغییرات ستونی و جانبی آنها، تفسیر نگاره گاما و همچنین تغییرات نسبی سطح آب دریا، سه سکانس رسوبی (رده سوم) در نهشته‌های سازند فهیلان در منطقه مورد مطالعه شناسایی گردید. فهیلان زیرین شامل دو سکانس اول و فهیلان بالای دربردارنده سکانس سوم است. سکانسهای رسوبی دارای دسته‌های رخساره‌ای TST و HST می‌باشند. سکانسهای سازند فهیلان در مقایسه با سکانسهای جهانی، وابسته به ابرسکانس I Lower Zuni و بخش بالایی ابرسکانس II Upper Zuni می‌باشند (Golonka & Kiessling, 2002). ابرسکانسهای جهانی یاد شده هم ارز ابرسکانس مهرداد متعلق به کرتاسه پیشین است (Heydari, 2008).

#### **سکانسهای شناسایی شده در چاه کوشک-۱**

##### **سکانس A**

ستبرای سازند فهیلان در این چاه ۵۳۰ متر است و سکانس A، ژرفای ۴۴۷۵ تا ۴۳۱۰ متری (ستبرای ۱۶۵ متر) را دربر می‌گیرد. مرز زیرین این سکانس با منطقه گذر فهیلان / گرو با افزایش ناگهانی در پرتو گاما به میزان API ۴۵ و لیتو فاسیس شیل آشکار می‌شود. این شیلهای بدون سنگواره با ستبرای ۵ تا ۲ متر در میان ریز رخساره مادستون آرژیلیتی با ستبرای میانگین ۱۰ متر قرار گرفته و به محیط ژرف تعلق دارند (شکل ۷). در بالای این مرز رسوبات TST با ستبرای ۹۵ متر (ژرفای ۴۴۷۵ تا ۴۳۸۰ متری) به ترتیب از پایین به بالا با رسوب گذاری ریز رخساره‌های پهنه کشندی مانند گرینستونهای اینتراکلسی و پلوییدی و مادستون بدون سنگواره آغاز شده و در ادامه و کستون و پلویید پکستون زیر محیط تالاب و مادستونهای آرژیلیتی پلاتفرم باز

۷). توالی TST با ستبرای ۱۰۲ متر از ژرفای ۴۱۱۸ تا ۴۰۱۶ متری تشکیل شده است. این سیستم تراکت با ریزرساره‌های زیرمحیط پهنه کشندي مانند مادستون بدون سنگواره دولومیتی شده و لیتوافاسیس ماسه سنگ آغاز شده و ریزرساره‌های وکستون بایوکلاستی و پکستون پلوییدی محیط تالاب و ریزرساره‌های محیط سد مانند باندستون لیتوکودیومی و گرینستون پلوییدی اووئیددار بر روی آن انباسته شده‌اند که به روشی نشانه ژرف شدن محیط رسوبی به خاطر بالاًمدن نسبی سطح آب هستند. در نگاره گاما (شکل ۷) روند افزایش آرام رو به بالا در این سیستم ترکت به خوبی نمایان است که مشخص کننده retrogradatioonal stacking pattern است. سطح بیشینه گسترش آب دریا (MFS3) در ژرفای ۴۰۱۶ متری با شیل با اوج نگاره پرتو گاما قابل شناسایی است. این MFS همارز K40 به سن هوترویون Haq *et al.*, 2001؛ Sharland *et al.*, 2001؛ Shakib (1994) این MFS در ۱۹۸۸. بر پایه گزارش Shakib (1994) این MFS در فهليان بالايی قرار دارد و در برش الگو برای آن سنگواره شاخصی وجود ندارد. بر روی اين MFS ریزرساره‌های تالاب به پهنه کشندي تغيير کرده و رسوبات سیستم تراکت تراز بالا با مادستون بدون سنگواره دولومیتی شده تهنشین شده‌اند. این سیستم تراکت با ستبرای ۷۱ متر از ژرفای ۴۰۱۶ تا ۳۹۴۵ را دربرمی گيرد. تغييرات چرخه‌ای نگاره گاما در اين بخش به خوبی تأثير نوسانات سطح آب بر ماهیت ریزرساره‌ها (پاراسکانسها؟) را نشان می‌دهد. بر خلاف روند افزایشی رو به بالا در زیر HST، این قسمت روند کاهش ژرفای<sup>۱</sup> داشته که نشانه رسوبات HST هستند (شکل ۷). مرز سکانسی (SB4) در ژرفای ۳۹۴۵ متری مشخص شده است. این مرز با توجه به افت

تالاب آغاز شده و سپس ریزرساره‌های زیرمحیط پلاتفرم باز مانند مادستون آرژیلیتی که نشانگر پيش‌روي ریزرساره‌های دریایی به سوی خشکی هستند، در اين بخش از سازند فهليان تهنشین شده‌اند. نگاره گاما نيز در اين بخش چرخه‌های کوچکتر دانه ریز شونده به سوی بالا را نشان می‌دهد که ممکن است بیانگر الگوی retrogradation چرخه‌های مرتبه چهارم - پنجم باشند. دومین بیشینه گستردنگی آب دریا (MFS2) در ژرفای ۴۲۰۵ متری تشکیل شده است (شکل ۷). در مقاطع نازک، این سطح با ریزرساره‌های پلویید پکستون (زیر محیط تالاب) که ژرف ترین ریزرساره نهشته شده در این سکانس است، شناسایی گردید. البته اوج نگاره گاما نيز در اين ژرفای می‌تواند بازتاب افزایش نسبی سطح آب MFS همارز K30 به سن والانژینین است (Sharland *et al.*, 2001) که بر اساس گزارش‌های پيشين (Shakib, 1994) درون سازند فهليان قرار دارد. پس از MFS2 ریزرساره‌های وکستون بایوکلاستی و پلوییدی زیرمحیط تالاب تهنشین شده و روی اين دسته ریزرساره، ریزرساره‌های پهنه کشندي مانند مادستونهای بدون سنگواره و دولومیتی شده تهنشین شده‌اند که بیانگر تهنشتهای مرحله HST سکانس دوم و پايان افتادن سطح نسبی آب دریا است. نگاره گاما در اين بخش تغييرات چندان منظمی نشان نمی‌دهد؛ هر چند در مرز بالايی آن افت آشکاري در ميزان پرتو گاما هست که به عنوان مرز بالايی سکانس دو (SB2) در ژرفای ۴۱۱۸ متری شناسایی شده و با توجه به ریزرساره اشاره شده در بالا، مرز سکانسی نوع يك معرفی شده است.

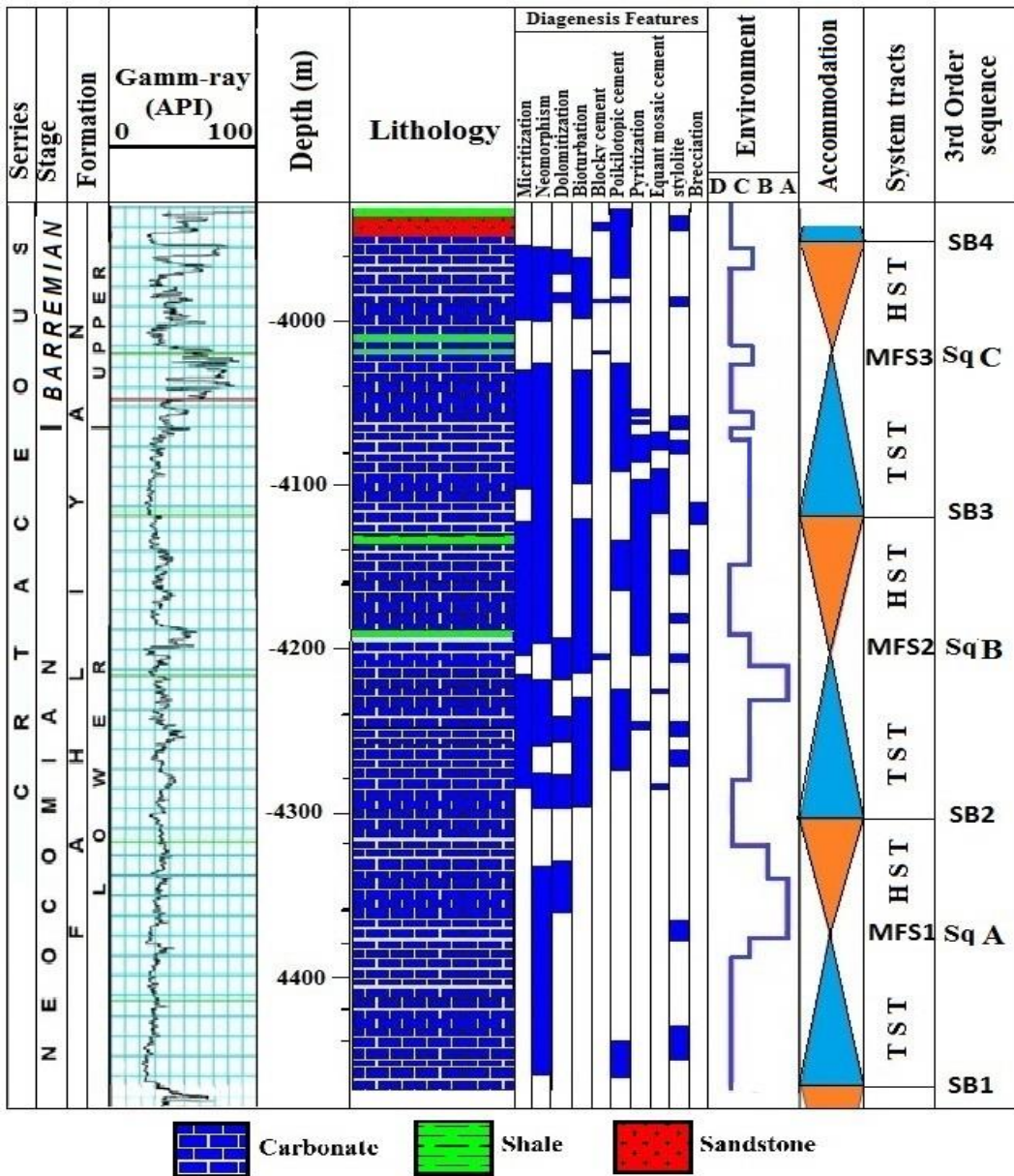
### سکانس C

سکانس C در چاه کوشک-۱ با ستبرای ۱۷۳ متر از ژرفای ۴۱۱۸ تا ۳۹۴۵ متری را دربرگرفته است (شکل

1- shoaling upward

شوند و لذا لیتوفاسیس ماسه سنگ در این افق تشکیل گردیده است.

ناگهانی میزان نگاره پرتو گاما و نیز شناسایی ماسه سنگ در مقاطع نازک، از نوع یک معرفی شده است. افت سطح آب دریا سبب شده ذرات آواری وارد حوضه



شکل ۷: ستون چینه‌شناسی و چینه‌نگاری سکانسی سازند فهیلان در چاه کوشک-۱

است (شکل ۸). مرز زیرین این سکانس به دلیل در دسترس نبودن مقاطع نازک و نگاره پرتو گاما شناسایی نشده است. رسوبات TST این سکانس از ژرفای ۴۴۵۰ متری با ستبرای ۱۲۰ متر تا ژرفای ۴۳۳۰ متری شامل ریزرسارهای تالاب مانند وکستونهای بایوکلستی و پلوییدی است که با

### سکانس‌های شناسایی شده در چاه حسینیه-۳

#### سکانس A

ستبرای سازند فهیلان در این چاه ۴۶۴ متر است و از ژرفای ۴۴۵۰ تا ۳۹۸۶ را دربردارد. سکانس A از ژرفای ۴۴۵۰ تا ۴۲۴۰ متری (ستبرای ۲۱۰ متر) را به خود اختصاص داده

رخساره‌های دریایی به سوی خشکی است. برخلاف سکانس زیرین، نگاره گاما به خوبی روند افزایش رو به بالا را نشان می‌دهد تا این که در ژرفای ۴۰۵ متری در برابر یک لایه شیلی به اوج می‌رسد (شکل ۸). این سطح به عنوان بیشینه گستردگی آب دریا در این سکانس (MFS2) معرفی شده است. این سطح بیشینه گسترش آب دریا را Sharland *et al.* (2001) هم ارز دانست. پس از MFS2 سیستم تراکت تراز بالای سطح نسبی آب دریا با ستبرای ۲۰ متر از ژرفای ۴۱۸۰ تا ۴۶۰ متری با تنه‌شینی ریز رخساره‌های پکستون پلوییدی زیر محیط تالاب آغاز شده و روی آنها مادستون بدون سنگواره پهنه کشندی تنه‌شین شده‌اند که بیانگر کاهش فضای انباشت و هجوم ریز رخساره‌های بخش‌های نزدیک خشکی به سوی درون حوضه رسوب گذاری است. هر چند کل سکانس دوم ستبرای کمتری نسبت به دو سکانس دیگر دارد، اما در نگاره گاما، تغییرات منظم کاهش رو به بالا که نشانه الگوی progradational است در این سکانس به خوبی دیده می‌شود. تاحدی می‌توان تغییرات پاراسکانس‌های مرتبه چهارم/پنجم را نیز در این تغییرات منظم مشاهده نمود (شکل ۸). افت ناگهانی میزان پرتونی گاما در پایان این سیستم ترکت در ژرفای ۴۱۶۰ متری بسیار شدید است و به عنوان مرز بالای این سکانس (SB2) و نوع یک در نظر گرفته شده است.

### C سکانس

این سکانس در چاه حسینیه-۳ با ستبرای ۱۷۴ متر از ژرفای ۴۱۶۰ تا ۳۹۸۶ متری را دربر گرفته است (شکل ۸). سیستم تراکت TST با ستبرای ۷۴ متر در ژرفای ۴۰۸۶ تا ۴۱۶۰ متری تشکیل شده است. این سیستم تراکت با شیل و ریز رخساره‌های مادستون آهکی بدون سنگواره پهنه کشندی آغاز شده و پکستون پلوییدی با یوکلستی محیط تالاب و ریز رخساره گرینستون اینتراکلستی محیط سد و

ریز رخساره‌های مادستون رادیولردار و لیتوفاسیس شیل دریای باز پوشیده شدند. گرچه روند تغییرات نگاره گاما در بخش‌های پایینی چندان آشکار نیست، اما در قسمت‌های بالاتر به ویژه نزدیک MFS به روشنی روند retrogradational در آن پیداست تا این که در ژرفای ۴۳۳۰ متری در برابر لایه شیلی به بیشینه خود در این بخش می‌رسند (شکل ۸). این افق شیلی با توجه به افزایش مقدار پرتونه گاما به عنوان سطح بیشینه گسترش آب دریا (MFS1) تفسیر گردید. این MFS هم از با K20 MFS با سن Sharland *et al.*, 2001) بر پایه گزارش Shakib (1994) در فهليان زیرین قرار دارد. سیستم تراکت تراز بالای آب این سکانس با ستبرای ۹۰ متر از ژرفای ۴۳۳۰ تا ۴۲۴۰ متری با انباشته شدن ریز رخساره‌های مادستون دارای بایوکلست و وکستونهای بایوکلستی پلوییدار مربوط به زیر محیط تالاب آغاز شده و سرانجام با مادستونهای بدون سنگواره زیر محیط پهنه کشندی پایان یافته است. این ترتیب قرارگیری ریز رخساره‌ها کاهش فضای انباشت در گام HST را نمایان می‌سازد. نگاره گاما در این سیستم تراکت روند منظمی ندارد (شکل ۸). مرز بالایی سکانس نخست با توجه به تغییر الگوی برانباشت رخساره‌ها و تغییر در روند و میزان نگاره پرتونه گاما در چاه حسینیه-۳ در ژرفای ۴۲۴۰ متری نوع دو می‌باشد.

### B سکانس

این سکانس در چاه حسینیه-۳ با ستبرای ۸۰ متر از ژرفای ۴۲۴۰ تا ۴۱۶۰ متری را دربر گرفته است (شکل ۸). سیستم تراکت TST این سکانس با ستبرای ۶۰ متر از ژرفای ۴۲۴۰ تا ۴۱۸۰ متری با ریز رخساره‌های مادستون بدون سنگواره زیر محیط پهنه کشندی و وکستونهای بایوکلستی زیر محیط تالاب آغاز شده و در ادامه با ریز رخساره‌های وکستون بایوکلستی دارای سوزن اسفنج دنال می‌شود که متعلق به محیط پلاتفرم باز هستند. این روند نشانگر پیش روی

Shil Arzhiyiti دریای باز بر روی آنها تهنشین شده‌اند. این ترتیب منظم، تغییرات رو به بالا ریزرخساره‌ها را به خوبی بالا آمدن سطح نسبی آب دریا و روند retrogradational به نمایش می‌گذارد. نگاره گاما نیز همخوانی بسیار خوبی با تغییرات ریزرخساره‌ها دارد و به جز یک استثنا در ژرفای ۴۱۰۶ تا ۴۱۰۴ متری، کاملاً روند افزایشی منظم رو به بالا را نشان می‌دهد (شکل ۸). سطح بیشینه گسترش آب دریا (MFS3) با لیتوفاسیس شیل آرژیلیتی در مقاطع نازک و اوج میزان نگاره پرتو گاما در ژرفای ۴۰۸۶ شناسایی گردید. این سطح بیشینه بالا آمدن نسبی سطح آب را می‌توان هم ارز K40 MFS به سن هوترویون پسین (Haq *et al.*, 1988; Sharland *et al.*, 2001) دانست.

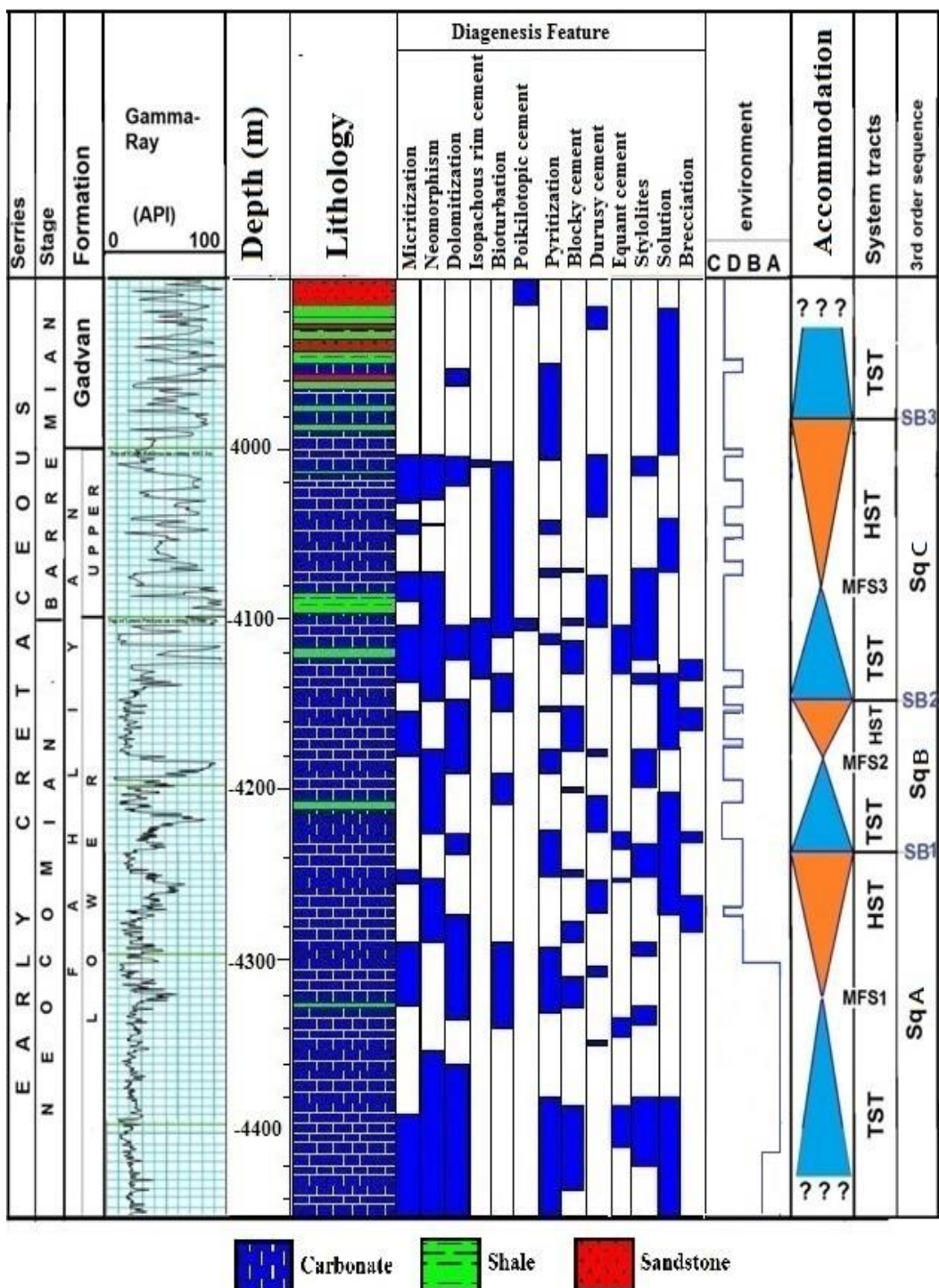
روی این سطح ریزرخساره‌های پهن‌کشندی با ریزرخساره‌های پکستون پلوییدی و بایوکلسنی و وکستونهای بایوکلسنی دنبال می‌شود. در ادامه مادستون بدون سنگواره و دولومیتی شده زیرمحیط پهن‌کشندی تهنشین شده و روی آنها را به ترتیب لیتوفاسیسهای شیل و ماسه‌سنگ پوشانیده است. این ارتباط و تغییرات عمودی ریزرخساره کاهش فضای ابانت را به نمایش می‌گذارد و نشانه سیستم تراکت HST است که با ستبرای ۱۰۰ متر از ژرفای ۴۰۸۶ تا ۳۹۸۶ متری را دربر گرفته است. در این چاه برخلاف چاه کوشک-۱، تغییرات نگاره پرتوی گاما چرخه‌های منظم کاهشی رو به بالا (پاراسکانسهای؟) و اثر نوسانات سطح آب بر ریزرخساره‌های ابانت شده را در این بخش نشان می‌دهد (شکل ۸). مرز سکانسی (SB3) از نوع یک بوده و با افت نسبی میزان نگاره پرتو گاما و در مقاطع نازک با لیتوفاسیس ماسه‌سنگ با سیمان کربناته متعلق به بخش خلیج قابل شناسایی است. سکانسهای شناسایی شده در این پژوهش با سکانسهای شناسایی شده هم‌ارز در زاگرس و پلیت عربی در عراق، کویت و امارات متحده عربی (Shakib, 1994; Al-Rawi, 1981).

ارتباط فرآیندهای دیاژنزی با چینه نگاری سکانسی بررسی سکانسهای رسوبی، ریزرخساره‌ها و روندهای دیاژنسی سازند فهیان نشان از ارتباط مستقیم میان فرآیندهای دیاژنسی و جایگاه آنها در دسته‌های رخساره‌ای سکانسهای رسوبی است. در دسته‌های رخساره‌ای متفاوت HST، TST و LST، فرآیندهای دیاژنسی فعال قابل پیش‌بینی است. رخساره‌های مادستونی و وکستونی در توالی ستونی و جانی به رخساره‌های پکستونی و گرینستونی تبدیل شده و تخلخل آنها نیز افزایش می‌یابد. وجود تخلخل قالبی در رسوبات دانه پشتیبان در توالی به سمت بالا کم ژرفا شونده دیده می‌شود. این مسئله با انحلال انتخابی دانه‌ها همراه است. انحلال انتخابی دانه‌ها، خردشده‌گی و برشی شدن و سیمان کلسیتی در بالا و پایین مرز سکانسها در گامهای آغازین TST و گامهای پایانی HST در سکانس C کوشک و حسینیه و سکانس B حسینیه دیده می‌شود. فرآیند یاد شده ناشی از رخمنون رسوبات در سطح در پی پایین افتادن سطح آب و تأثیر آبهای جوی بر آنها است. افزایش سریع و ناگهانی سطح نسبی آب دریا با هجوم آب دریا به سوی خشکی و ورود مواد آواری ریز دانه (سلیت و رس) به درون حوضه رسوبی همراه است که پی‌آمد آن فراهم شدن میزیم برای تشکیل بلورهای دولومیت ریز بلور می‌باشد. وجود بلورهای متوسط دولومیت در رخساره‌های گل پشتیبان هر چند ممکن است تخلخل را کاهش دهد، اما تراوایی را افزایش داده و از

تخلخل و تراوایی بیشتری دارند (Lucia, 1995). دسته رخسارهای HST سکانس ۲ و ۳ سازند فهليان با توجه به درشت‌تر شدن دانه‌های اسکلتی و همچنین رسوب گذاري اين نهشته‌ها در کمربند رخسارهای حاشیه شلف، تخلخل بین دانه‌ای خوب تا متوسط دارند که با سیمان پر شده است.

سویی اشباع شدگی آب در سنگ را کاهش می‌دهد (Lucia, 1995).

دسته رخسارهای HST در شرایطی رسوب گذاري می‌کنند که فضای لازم برای رسوب گذاري کمتر از کاهش سطح نسبی دریا است. بنابراین دارای فابریک دانه‌پشتیبان بوده و



شکل ۸: ستون چینه‌شناسی سازند فهليان در چاه حسینیه-۳

هستند و در گامهای پایانی تراز بالای آب دریا با کاهش فضای برانباست در سکانس C کوشک-۱ و حسینه-۳ رسوب آثار رخنمون اتمسفری مانند انحلال زمینه میکرایتی، پدید آمدن تخلخل حفره‌ای و سیمان بلوکی در آنها دیده می‌شود. در هنگام پایین افتادن سطح آب دریا در توالیها، دیاژنز متئوریکی گسترش پیدا کرده است. در سیستم تراکتهای پیش‌رونده، دیاژنز متئوریکی (برشی شدن، انحلال و سیمان بلوکی) تنها در بخش‌های بالایی هر سکانس (هنگام پس‌روی) و در سکانسهای زیرین سکانس (آغاز پیش‌روی) به ویژه در سکانسهای B و C دیده می‌شود و با افزایش فضای برانباست در پی پیش‌روی دریا، دیاژنز دریایی چیره شده است. در آغاز سیستم تراکتهای تراز بالای آب دریا، تنها بخش‌های بالایی سکانسهای تحت تأثیر دیاژنز متئوریکی قرار گرفته‌اند و با کاهش فضای برانباست در گامهای پایانی تراز بالای آب دریا، دیاژنز متئوریکی چیره شده و اثر آن در توالیها دیده می‌شود.

### سپاس‌گزاری

نگارندها وظیفه خویش می‌دانند از مدیریت اکتشاف و تولید شرکت ملی نفت برای تأمین داده‌ها و اجازه چاپ دستاوردهای این پژوهش سپاس‌گزاری نمایند. نقد موشکافانه و نظرات داوران که در رفع کاستیها و بهبود محتواهای مقاله بسیار سودمند بوده مایه قدردانی است.

### نتیجه‌گیری

نهشته‌های کربناته سازند فهیلان به دلیل رسوب گذاری بخش زیادی از آن در محیط‌های کم ژرفای دریایی و پشت سر گذاشتن فرآیندهای گوناگون دیاژنزی، دارای ویژگیهای مخزنی هستند. بر پایه بررسیهای سنگ‌شناسی مقاطع نازک تراشه‌های حفاری چاههای کوشک-۱ و حسینه-۳ و تفسیر نگاره گاما، بیست و دو ریزرساره کربناته و دو لیتوفاسیس آواری شناسایی شد که در قالب چهار کمربند رساره‌ای دریایی باز، حاشیه شلف / سد، لاگون و پهنه‌های کشنده تهنشین شده‌اند. مطالعات چینه‌نگاری سکانسی سازند فهیلان نشان می‌دهد که نهشته‌های مورد نظر از سه سکانس رسوبی رده سوم تشکیل شده است. توالی دیاژنزی مشاهده شده در سازند فهیلان شامل سیمانی شدن، میکرایتی شدن دانه‌ها، دولومیتی شدن، انحلال در محیط دیاژنزی فریاتیک آب شیرین، تراکم مکانیکی و شیمیایی، سیمانی شدن در محیط دیاژنسی دفنی و شکستگی است. بررسی سکانس‌های رسوبی، ریزرساره‌ها و روندهای دیاژنسی سازند فهیلان حاکی از ارتباط مستقیم میان آنها است به گونه‌ای که فرآیندهای دیاژنسی خاصی را می‌توان در دسته رساره‌های متفاوت انتظار داشت. بیشترین میزان دولومیتی شدن در رساره‌های حاشیه شلف طی TST و همچنین در رساره‌های کشنده در هنگام HST رخ داده است. سیمان دریایی زودرس بیشتر در TST که میزان تولید کربنات کمتر است، تشکیل شده است. در آغاز تراز بالای سطح آب دریا، توالیها اغلب دریایی

### منابع

- اسفندیاری، م.، ۱۳۹۲. بررسی محیط رسوبی، چینه‌نگاری سکانسی و دیاژنس سازند فهیلان در میدان نفتی یادآوران. پایان نامه کارشناسی ارشد، دانشگاه بوعالی سینا همدان، ۱۳۱ ص.

مطیعی، ه.، ۱۳۷۲. زمین شناسی ایران: چینه شناسی زاگرس. سازمان زمین شناسی و اکتشافات معدنی کشور، ۵۳۶ ص.  
لامسی، ی.، فیضی، م.، ۱۳۸۵. رخساره‌های پلاتفرمی تا دور از پلاتفرمی در سازند فهليان: گواهانی بر پدید آمدن حوضه بین  
شلفی در جنوب باخته ایران. بیست و پنجمین همایش علوم زمین، سازمان زمین شناسی و اکتشافات معدنی کشور،  
صفحه ۲۴۹-۲۴۲.

فیض‌نیا، س.، فهیمی، ع.، یاوری، م.، ۱۳۸۹. بررسی محیط رسوبی و چینه‌نگاری سکانسی سازند فهليان در میدانهای نفتی اهواز و  
آب‌تیمور. پژوهش‌های دانش زمین، ۱: ۵۵-۷۴.

- Adabi, M.H., Salehi, M.A., & Ghabeishavi, A., 2010. Depositional environment, sequence stratigraphy and geochemistry of Lower Cretaceous carbonates (Fahliyan Formation), south-west Iran. *Journal of Asian Earth Sciences*, 39: 148-160.
- Ahr, W.M., 2008. Geology of carbonate reservoir, *John Wiley and Sons, Inc.*, 277 p.
- Al-Husseini, M.T., 2000. Origin of the Arabian Plate Structure: Amar Collision and Najd Rift. *GeoArabia*, 5 (4): 527-542.
- Al-Rawi, M., 1981. Geological interpretation of oil entrapment in the Zubair Formation, Raudhatain Field. *Society of Petroleum Engineers Middle East Oil Technical Conference*, pp. 149-158.
- Basyoni, M.H., & Khalil, M., 2013. An overview of the diagenesis of the Upper Jurassic carbonates of Jubaila and Hanifa formations, Central Saudi Arabia. *Arabian Journal of Geosciences*, 6: 557-572.
- Bathurst, R.G.C., 1986. Carbonate diagenesis and reservoir development: Conservation, destruction and creation of pores. In: Bathurst, R.G.C., & Land, L.S., (eds.), Carbonate deposition environments. Part 5, Diagenesis 1. *Colorado School of Mines Quarterly*, 81: 1-25.
- Berberian, M., 1995. Master blind thrust faults hidden under the Zagros fold: active basement tectonics and surface morphotectonics. *Tectonophysics*, 241: 193-224.
- Catuneanu, O., Galloway, W.E., Kendall, Ch.G.St.C., Miall, A.D., Posamentier, H.W., Strasser, A., & Tucker, M. E., 2011. Sequence stratigraphy: methodology and Nomenclature. *Newsletters on stratigraphy*, 4413: 173-245.
- Dunham, R.J., 1962. Classification of carbonate rocks according to depositional texture. In: Ham, W.E., (ed.), Classification of Carbonate Rocks. *American Association of Petroleum Geologists Memoir*, 1: 108-121.
- Ehrenberg, S.N., Aqrabi, A.A.M., Nadeau, & P.H., 2008. An overview of reservoir quality in producing Cretaceous strata of the Middle East. *Petroleum Geoscience*, 14 (4): 307-318.
- El-Ghali, M.A.K., El-Khoriby, E., Mansurbeg, H., Morad, S., & Ogle, N., 2013. Distribution of carbonate cements within depositional facies and sequence stratigraphic framework of shoreface and deltaic arenites, Lower Miocene, the Gulf of Suez rift, Egypt. *Marine and Petroleum Geology*, 45: 267-280.
- Flügel, E., 2010. Microfacies of carbonate rocks, analysis interpretation and application. *Springer-Verlag*, Berlin, 984 p.
- Folk, R.L., 1974. Petrology of Sedimentary Rocks. *Hemphill Publication Co.*, Austin, Texas, 81 p.
- Golestaneh, A., 1965. Micropaleontology study of Khami Group and the Jurassic-Cretaceous in Fars Province (southern Iran). *Bulletin de Bureau de Recherches Géologiques et Minières*, 3: 165-179.
- Golonka, J., & Kiessling, W., 2002. Phanerozoic time scale and definition of time slices Phanerozoic reef patterns. *Society of Economic Paleontologists and Mineralogists special publication*, 72: 11-20.
- Haq, B., Hardenbol, J., & Vail, P.R., 1988. Mesozoic and Cenozoic chronostratigraphy and cycles of sea-level change, In: Wilgus, C.K., Haughton, B.S., Kendall, Ch.C.St.C., Posamentier, H.W., Ross, C.A., &

- Van wagoner, J.C., (eds.), Sea-Level changes: An integrated approach. *Society of Economic Paleontologists and Mineralogists special publication*, 42: 71-108.
- Haq, B.U., & Al-Qahtani, A., 2005. Jurassic-Neogene Arabian Platform cycle chart: *GeoArabia*, 10 (2): 127-160
- Heydari, E., 2008. Tectonics versus eustatic control on supersequence of the Zagros Mountains of Iran. *Tectonophysics*, 451: 56-70.
- Jamalian, M., Adabi, M.H., Moussavi, M.R., Sadeghi, A., Dariush Baghbani, D., & Ariyafar, B., 2011. Facies characteristic and paleoenvironmental reconstruction of the Fahliyan Formation, Lower Cretaceous, in the Kuh-e-Siah area, Zagros Basin, southern Iran. *Facies*, 57: 101-122.
- James, G.A. & Wynd, J.G., 1965. Stratigraphic nomenclature of Iranian Oil Consortium Agreement Area, *American Association of Petroleum Geologists Bulletin*, 49 (12): 2182-2245.
- Kamali, M.R., Abolghasemi, A., Bagheri, R., & Kadkhodayi, A., 2013. Petroleum geochemistry and oil-oil correlation of the Fahliyan and Surmeh reservoirs in the Garangan and Chilingar oilfields, the Dezful embayment (SW Iran). *Journal of Petroleum Exploration and Production Technology*, 3: 85-92.
- Kheradpir, A., 1975. Stratigraphy of Khami Group in southwest Iran. National Iranian Oil Company, No. 1235 (unpublished).
- Lucia, F.J., 1995. Carbonate Reservoir Characterization. *Springer-Verlag*, Berlin, 336p.
- Lucia, F.J., 1995. Rock-fabric / petrophysical classification of carbonate pore space for reservoir characterization. *American Association of Petroleum Geologists Bulletin*, 79 (9): 1275-1300.
- Masse, J.P., & Masse, M.F., 2011. Drowning discontinuities and stratigraphic correlation in platform carbonates: the late Barremian-early Aptian record of southeast France. *Cretaceous Research*, 32: 659-684.
- Mehrabi, H., Rahimpour-Bonab, H., 2014. Paleoclimate and tectonic controls on the depositional and diagenetic history of the Cenomanian-early Turonian carbonate reservoirs, Dezful Embayment, SW Iran. *Facies*, 60 (1): 147-167.
- Morad, S., Ketzer, M., & De Ros, F., 2000. Spatial and temporal distribution of diagenetic alterations in siliciclastic rocks: implications for mass transfer in sedimentary basins. *Sedimentology*, 47: 95-120.
- Navidtalab, A., Rahimpour-Bonab, H., Nazari-Badie, A., Sarfi, M., 2013. Challenges in deep basin sequence stratigraphy: a case study from the Early-Middle Cretaceous of SW Zagros. *Facies*, 60 (1): 195-215.
- Posamentier, H., & Allen, G., 1993. Variability of the sequence stratigraphic model: effects of local basin factors. *Sedimentary Geology*, 86: 91-109.
- Raiswell, R., 1982. Pyrite texture, isotopic composition and the availability of iron. *American Journal of Science*, 282: 1244-1263.
- Shakib, S.S., 1994. Palaeoenvironment and Biostratigraphic Significance of Foraminiferal Associations from the Early Cretaceous sediments of SW Iran. In: Simmons, M.D., (ed.), *Micropalaeontology and Hydrocarbon Exploration in the Middle East*. Chapman and Hall, pp. 127-158.
- Sharland, P.R., Casey, D.M., Davies, R.B., Hall, S.H., Heward, A.P., Horbury, A.D., & Simmons, M., 2001. Arabian Plate Sequence stratigraphy. *Geo Arabia special publication*, 2: 1-490.
- Taylor, K., Gawthorpe, R., & Van Wagoner, J., 1995. Stratigraphic control on laterally persistent cementation, Book Cliff, Utah. *Journal of Sedimentary Research*, 69: 225-228.
- Tucker, M.E., & Wright, V.P., 1990. Carbonate Sedimentology. Blackwell Science, Inc. 482 p.
- Tucker, M.E., 1991. Sedimentary Petrology, Blackwell Scientific Publication, 260 p.
- Van Buchem, F.S.P., Allan, T.L., Laursen, G.V., Lotfpour, M., Moallemi, A., Monibi, S., Motiei, H., Pickard, N.H.A., & Tahmasbi, A.R., Vedrenne, V., & Vincent, B., 2010. Regional stratigraphic architecture and reservoir types of the Oligo-Miocene deposits in the Dezful Embayment

- (Asmari and Pabdeh Formations) SW Iran. *Geological Society of London, Special Publications*, 329: 219-263.
- Wilson, J.L., 1975. Carbonates facies in geologic history. *Springer-Verlag*, Berlin, 471 p.
- Zuffa, G., Cibin, U., & Di Giulio, A., 1995. Arenite petrography in sequence stratigraphy. *Journal of Geology*, 103: 451- 459.

Archive of SID

## Diagenesis and sequence stratigraphy of the Fahliyan Formation in the Yadavaran oil field (Koshk and Hosseiniyeh) in the north Dezful Embayment

Mohseni, H.<sup>1\*</sup>, Esfandyari, M.<sup>2</sup>, Kavoosi, M.A.<sup>3</sup>

1- Associate Professor, Department of Geology, Faculty of Science, Bu-Ali Sina University, Hamedan, Iran  
 2- M.Sc in sedimentology sedimentary petrology, Department of Geology, Faculty of Science, Bu-Ali Sina University, Hamedan, Iran  
 3- NIOC Exploration Directorate, Geological Department (Head of Stratigraphy and Sedimentology), Tehran, Iran

\*E-mail: mohseni@basu.ac.ir

### Introduction

Investigation on mutual relation between depositional facies and diagenesis in a sequence stratigraphic framework is essential for systematic recognition of a reservoir (Lucia, 2004; Ahr, 2008). Spatial distribution of porosities of carbonate rocks may drastically change due to diagenetic processes (Mehrabi and Rahimpour- bonab, 2013). Facies analysis and diagenetic studies in sequence stratigraphic framework could facilitate for reservoir simulation (Masé and Masé, 2011). Hence, combination between diagenesis and sequence stratigraphy is useful for better understanding of diagenetic processes (Morad *et al.*, 2000). This research will discuss distribution and variations of diagenetic processes of the Fahliyan Formation in a sequence stratigraphic framework in the northern part of the Dezful Embayment.

### Results and discussion

The Fahliyan Formation is composed of 24 microfacies that formed four facies associations and were deposited in tidal flat, lagoon, bar and open marine (Esfandyari, 2013). The tidal flat facies association includes quartzarenite, shale, intraclast grainstone, mudstone and dolomudstone. Absence of bioclasts, frequent detrital quartz grains and intraclast, evidently suggests a tidal flat setting (Flügel, 2010). Lagoonal facies association includes peloids wackestone/ packstone, algal boundstone and bioclastic mudstone. Abundant algal fragments (e. g. *Salpingoporella*, *Dasycladacea*, *Actinoporella*, *Clypeina*, *Acicularia*) are distributed in this facies association. Frequent lime mud, peloid and milliolid foraminifera suggest a lagoon environment located on mid-shelf (Flügel, 2010). Peloid- intraclast grainstone, ooid- intraclast grainstone and lithocodium boundstone are representatives of a bar/ barrier. Lack of lime mud and present of skeletal grains are evidence of dynamic high-energy setting. These are similar to bar microfacies of Flügel (2010) and facies belt 5 and 6 of Wilson (1975). The open marine facies association is composed of resedimented/brecciated carbonate beds. Extraglomerate, bioclasts and quartz grains present in lime mud matrix. Mixed open marine and lagoonal biota may represent talus deposit formed in front of carbonate platform slope. Mudstone with sponge spicules and radiolarian are being interpreted as open shelf (Flügel, 2010) and facies belt 1 and 2 of Wilson (1975). Here, these facies association are interpreted as being deposited on a shelf type carbonate platform. Various diagenetic processes affected the Fahliyan Formation in the Yadavaran oil field such as micritization and neomorphism that are more abundant in the lagoonal facies. Bladed isopachus HMC cement was precipitated in grain-supported facies (e.g. grainstone of bar/ barrier). Moldic, vuggy and intraparticle porosities are developed within mud-supported and brecciated facies. Evidences of burial diagenesis were also observed as stylolite, along late stage dolomitization and poikilotopic cement as well.

### Sequence stratigraphy

The Fahliyan Formation is composed of three 3rd order sequences that can be correlated with Lower Zuni I and Upper Zuni II megasequences (Klonga and Kesling, 2002) in a global scene. They can also be correlated to the Mehrdad supersequence of the Early Cretaceous of the Zagros basin (Heydari, 2008). These sequences are composed of TST and HST facies which are separated by MFS. The first MFS is equal to MFS K20 of the Arabian plate (Sharland, *et al.* 2001), which was reported from the lower Fahliyan Formation (Shakib, 1994). The second MFS was also recognized in the mid Fahliyan Formation, correlatable to MFS K30 of the Arabian plate (Sharland, *et al.* 2001). Dolomitized lime mudstones on top of the second sequence, suggest a type I sequence boundary. MFS of the last sequence was recognized within the upper Fahliyan Formation that can also be correlated to K40 of the Arabian plate (Sharland, *et al.* 2001; Shakib, 1994). A global fall of sea-level (Haq *et al.*, 1988) caused influx of siliciclastic sediments into the basin during final stage of HST of the last sequence

designating type I sequence boundary. These sequences are correlated to those previously reported from the Zagros basin and Arabian plate as well (e.g.: Shakib, 1994; Sharland, *et al.* 2001; 2013; Haq and Al-Qahtani, 2005). Moldic porosity in shallowing-upward, grain-supported sediments are abundant just below and above the sequence boundaries in both wells. They were probably developed after influx of meteoric water as a consequence of sea-level fall. Sea-level rise might have restricted influx of coarse siliciclastics. Dolomitization of mud-supported facies is evident as dispersed dolomite crystals. Although these fine crystalline dolomites may reduce the porosity of carbonate rocks, but they could effectively increase the permeability of such rocks (Lucia, 2004). HST sediments of the sequences 2 and 3 are grain-supported and are expected to be more porous and permeable. These sediments were deposited on shelf margin facies with considerable intergranular porosity which was occluded by cements.

### Conclusion

The Fahliyan Formation is composed of shallow marine to deep shelf sediments. Shallow platform facies experienced various diagenetic processes which improved their porosity. The Fahliyan Formation consists of 22 carbonate microfacies and 2 siliciclastic lithofacies which were deposited in tidal flat, lagoon, bar and open marine environments on a carbonate shelf. These sediments comprise three 3<sup>rd</sup> depositional sequences. Diagenetic processes are effectively related to sequence stratigraphy. Early marine cements are closely confined to shelf-edge sediments of TST. Maximum dolomitization was also observed in TSTs, and tidal flat facies of HSTs. Evidence of meteoric diagenesis after decline in sea-level rise are evident in sediments of late HSTs in both wells, particularly in two upper sequences.

**Keywords:** Dezful Embayment; Fahliyan Formation; Yadavaran oil field; diagenesis; sequence stratigraphy.

### Reference

- Ahr, W.M., 2008. Geology of carbonate reservoir, *John Wiley and Sons, Inc.*, 277 p.
- Catuneanu, O., Galloway, W.E., Kendall, Ch.G.St.C., Miall, A.D., Posamentier, H.W., Strasser, A., & Tucker, M. E., 2011. Sequence stratigraphy: methodology and Nomenclature. *Newsletters on stratigraphy*, 44(13): 173-245.
- Esfandyari, M. 2013 Depositional environment, sequence stratigraphy and diagenesis of the Fahlyian Formation in the Yadavaran oil field, un-pub. MSc. Thesis, Faculty of Science, Bu-Ali Sina University, 131 p.
- Flugel, E., 2010. Microfacies of carbonate rocks, analysis interpretation and application. *Springer-Verlag*, Berlin, 984 p.
- Golonka, J., & Kiessling, W., 2002. Phanerozoic time scale and definition of time slices Phanerozoic reef patterns. *Society of Economic Paleontologists and Mineralogists special publication*, 72: 11-20.
- Haq, B., Hardenbol, J., & Vail, P.R., 1988. Mesozoic and Cenozoic chronostratigraphy and cycles of sea-level change, In: Wilgus, C.K., Hasting, B.S., Kendall, Ch.C.St.C., Posamentier, H.W., Ross, C.A., & Van wagoner, J.C., (eds.), Sea-Level changes: An integrated approach. *Society of Economic Paleontologists and Mineralogists special publication*, 42: 71-108.
- Haq, B.U., & Al-Qahtani, A., 2005. Jurassic-Neogene Arabian Platform cycle chart: *GeoArabia*, 10 (2): 127-160.
- Heydari, E., 2008. Tectonics versus eustatic control on supersequence of the Zagros Mountains of Iran. *Tectonophysics*, 451: 56-70.
- Lucia, F.J., 2004, Origin and petrophysics of dolostone pore space. *Geological Society London Special Publications*, 235: 141-155.
- Mehrabi, H., Rahimpour-Bonab, H., 2014. Paleoclimate and tectonic controls on the depositional and diagenetic history of the Cenomanian-early Turonian carbonate reservoirs, Dezful Embayment, SW Iran. *Facies*, 60 (1): 147–167.
- Morad, S., Ketzer, M., & De Ros, F., 2000. Spatial and temporal distribution of diagenetic alterations in siliciclastic rocks: implications for mass transfer in sedimentary basins. *Sedimentology*, 47: 95-120.
- Shakib, S.S., 1994. Palaeoenvironment and Biostratigraphic Significance of Foraminiferal Associations from the Early Cretaceous sediments of SW Iran. In: Simmons, M.D., (ed.), *Micropalaeontology and Hydrocarbon Exploration in the Middle East*. *Chapman and Hall*, pp. 127-158.
- Sharland, P.R., Casey, D.M., Davies, R.B., Hall, S.H., Heward, A.P., Horbury, A.D., & Simmons, M., 2001. Arabian Plate Sequence stratigraphy. *GeoArabia special publication*, 2: 1-490.
- Wilson, J.L., 1975. Carbonates facies in geologic history. *Springer-Verlag*, Berlin, 471 p.